

## 下腔静脉阻塞的 X 线解剖及临床意义

马广勤 高从敬 万向荣 陈才保

**摘要：**通过对 45 例下腔静脉阻塞血管造影的影像学分析，将其 X 线解剖分为三个基本类型：1 型为肝静脉入口平面膜性阻塞占 40%（18 例）；2 型为肝静脉入口平面以下至肾静脉入口平面之间阻塞占 44.4%（20 例）；3 型为下腔静脉广泛性闭塞占 15.6%（7 例）。文章依据其 X 线分型提出介入治疗的原则，并对 X 线分型的临床意义进行了讨论。

**关键词：**下腔静脉阻塞 X 线解剖 血管造影

### Radiologic Anatomy of the Inferior Vena Cava Obstruction and Its Clinical Significance

Ma Guangqin , Gao Chongjing , Wan Xiangrong , Chen Caibao

*Radiology Department , The 97th hospital of PLA , Xuzhou 221004*

**ABSTRACT :** Venocavographies of obstruction of the inferior vena cava were investigated on 45 adult patients . The results showed that the obstruction the inferior vena cava radiologic anatomy changes were considered to be different from the Budd – Chiari syndrome According to Sugiura' s classification , they consisted of the following types , Type I 40% (18 cases); Membraneous obstructionat the hepatic vein entrance . Type II 44. 4% (20 cases); beftween the entrances of hepatic veins and renal veins . Type III 15. 6% (7 cases); diffuse inferior vena cava obstructions. Interventional therapy principles were provided acocrding to the radiologic anatomy. The mechanism and significance of the classitification for inferior vena cava obstruction patients were discussed.

**Key Words:** Inferior vena cava obstrution; Radioanatomy Angiography

下腔静脉 (IVC) 阻塞综合征，近十年来才被认识。内科治疗无效，外科治疗死亡率高，随着介入放射学在我国的迅速发展，经皮血管球囊成形术 (PTA) 治疗，尤其是血管内支架置入术 (Stent) 的临床应用，为其开辟了一个新的治疗途径<sup>[1~5]</sup>。我们通过对 45 例 IVC 造影的 X 线分析，认为了解 IVC 阻塞的 X 线解剖，对临床诊治具有一定的指导意义。

### 资料和方法

本组男 34 例，年龄 23 ~ 72 岁。女 11 例，年龄 20 ~ 42 岁。病史 6 个月至 20 年，平均 4 年 7 个月。其中诉腹胀、纳差、乏力 31 例，肝脾肿大 29 例，腹水 13 例，胸腹壁浅静脉曲张 33 例，下肢水肿 37 例，静脉曲张 20 例，色素沉着 18 例，溃疡 8 例。胸腔少量积液伴盘状肺不张 6 例。胸片见奇静脉、半奇静脉增宽 10 例（图 1）。食管静脉曲张 22 例。

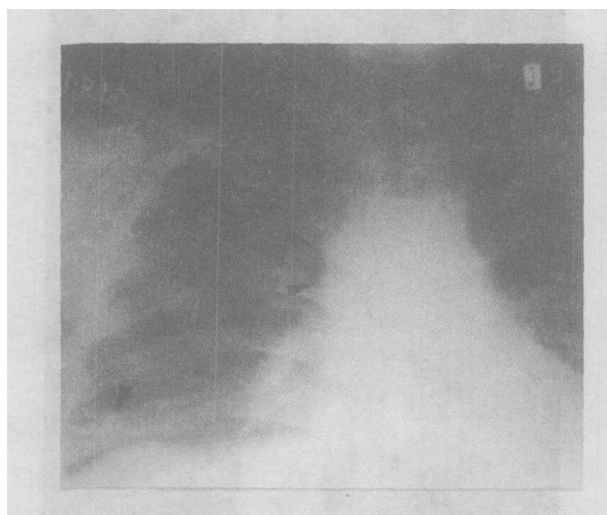


图 1 IVC 膜性完全性阻塞,胸片示膈肌抬高,少量胸水伴右下肺盘状不张(箭头)。

45 例均采用 Seidinger 技术,应用 Cook 公司生产的 6.5 或 7.0F 猪尾导管,经右股静脉插管作 IVC 造影。其中 26 例经右肘静脉或颈静脉行 IVC 近心端造影,4 例行肝右静脉造影,7 例经核素扫描;6 例经 CT 扫描。全部经 B 超或多普勒检查。术中作心电监护。插管过程中顺序测量各段 IVC 压。

## 结 果

### 一、IVC 阻塞的 X 线解剖

本组 IVC 在肝静脉(IVC)入口平面膜性阻塞占 40% (18 例)。阻塞端呈帽状或鸟嘴状,阻塞远端 IVC 明显扩张,侧支血管迂曲扩张。HV 入口平面以下至肾静脉入口平面之间阻塞占 44.4% (20 例)。5 例为完全性闭塞,15 例为节段性狭窄。其中 6 例受肿瘤浸润,IVC 内癌栓形成。HV 入口平面以下 IVC 广泛性闭塞占 15.6% (7 例)。除上述侧支血管加重外,腰升静脉可呈网状、串珠状甚至瘤样扩张(图 2~7)45 例 IVC 造影中,肝右静脉显影占 28.9% (13 例),肝中静脉显影占 11.1% (5 例),肝左静脉显影占 6.7% (3 例)。侧支血管扩张情况见表 1。

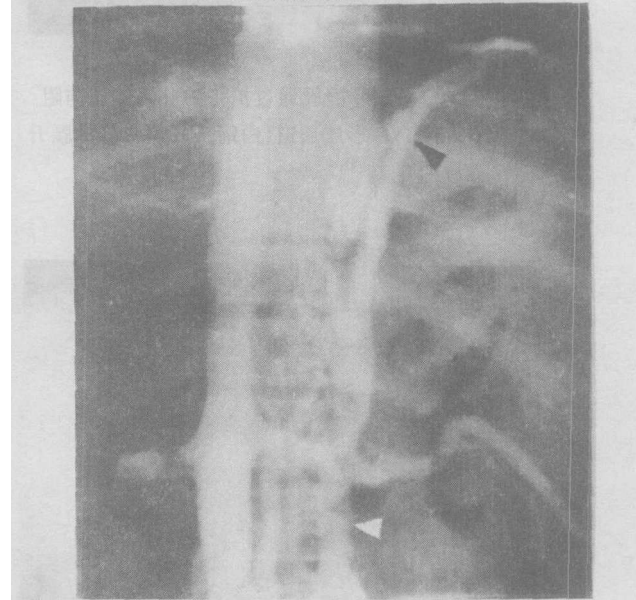


图 2 Ib 型:腰升静脉、肾静脉,左精索静脉(白箭头)腹壁浅静脉(黑箭头)及右肋间静脉明显扩张

表 1 45 例 IVC 阻塞侧支血管扩张情况

血管名称	病例数(%)
腰升静脉	26(57.8)
腹壁浅静脉	24(53.3)
肾静脉	18(40)
右副肝静脉	16(35.6)
肋间静脉	8(17.8)
左精索静脉	8(17.8)
左副肝静脉	2(4.4)



图 4 IIa 型:右副肝静脉通过扩张的肝内侧支与阻塞近端 IVC 形成通道(白箭头),偶肾静脉腰升静脉明

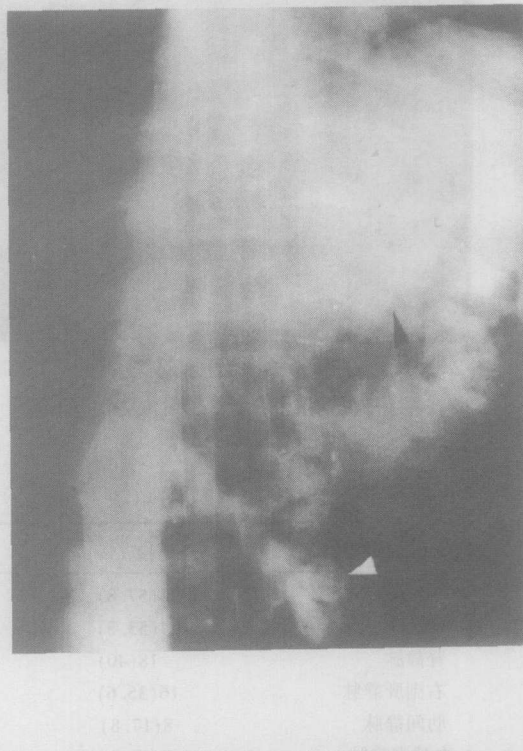


图 5 IIIb 型:阻塞远端 IVC、左肾静脉、腰升静脉呈瘤样扩张(白箭头),大量造影剂在侧枝血管内滞留(黑箭头)

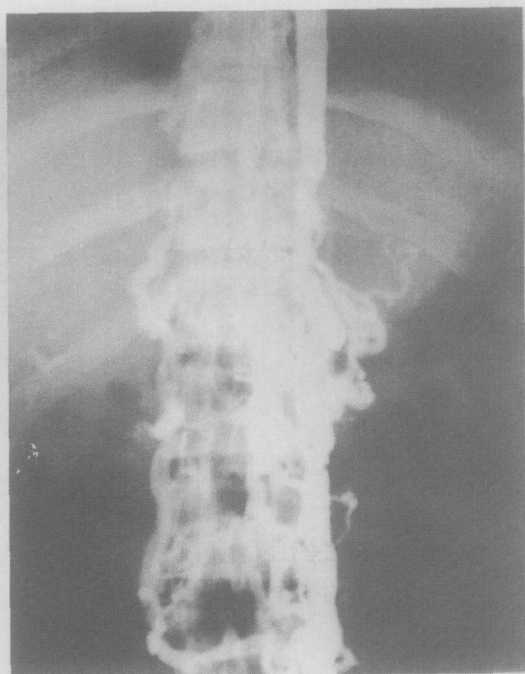


图 6 III 型:IVC 广泛性闭塞,椎静脉呈网状,纡曲扩张

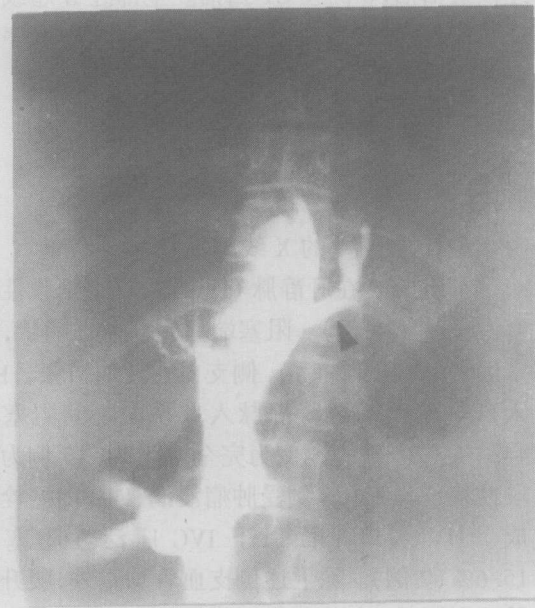


图 7 IVC 阻塞端明显扩张,且有大量血栓形成,左副肝静脉扩张(箭头)。

## 二、X 线分型

依据 IVC 阻塞 X 线造影表现和临床实际应用情况, 参考 Sugiura 等的分型标准, 将 IVC 阻塞分为三型: I 型为 HV 入口平面膜性阻塞; 2 型为 HV 入口平面以下至肾静脉入口之间阻塞; 3 型为 IVC 广泛性闭塞(表 2)。

表 2 45 例 IVC 阻塞 X 线分型

	Ia	Ib	IIa	IIb	III	合计
例数	12	6	13	7	7	45
%	26.6	13.3	28.9	15.6	15.6	100

注:a 为 HV 或副 HV 通畅,b 为 HV 不通畅

## 讨 论

### 一、IVC 阻塞的血流特点

IVC 主要收汇腹部、盆腔、会阴及下肢的静脉血, 经过膈的腔静脉裂孔入胸腔并注入右心房。当任何一段发生阻塞时均可发生血流方向的改变, 引起不同的临床症状及体征。

(一)HV 入口平面 IVC 阻塞 多伴有 HV 的闭塞, 少数 HV 可引流至阻塞近段 IVC。阻塞平面较高时亦可见 HV 甚至右副肝静脉 (Accessory hepatic veins) 扩张。本组左副肝静脉扩张 2 例。主要侧支通道有: 1. 通过脊椎腰升静脉, 半奇静脉, 奇静脉到上腔静脉; 2. 通过腹壁浅静脉, 胸廓季肋下静脉到 IVC 等。

(二)HV 入口以下阻塞 除上述通路外, 可通过腹壁上静脉, 胸腹壁静脉到锁骨下静脉或无名静脉。当阻塞发生在肾静脉入口平面及其以下时; 侧支通路尚有: 通过腹壁静脉, 脐周静脉, 附脐静脉到门静脉; 通过痔静脉丛, 直肠上静脉, 肠系膜下静脉到门静脉系; 通过输尿管静脉右侧入 IVC, 左侧经肾静脉入 IVC 等。IVC 广泛性闭塞者多以脊椎腰升静脉、半奇、奇静脉回流通路为主, 应为这部分静脉缺乏静脉瓣, 在 IVC 阻塞或静脉压高时可立即建立侧支循环。

### 二、临床特征与 X 线表现

IVC 因阻塞平面不同, 临床症状、体征亦有差异。IVC 肝段阻塞和/或 HV 阻塞又称

Budd - Chiari 综合征<sup>[8]</sup>, 临床主要表现为肝脾肿大, 腹水, 下胸部上腹部浅静脉曲张, 部分可见下肢水肿, 静脉曲张等。胸片可见膈肌抬高, 部分可见胸水, 盘状肺不张, 奇静脉、半奇静脉扩张。食管吞钡可见食管下段甚至中下段静脉曲张等。中下段阻塞, 除上述征象外, 有明显的腹水和下肢水肿、静脉曲张、色素沉着甚至溃疡等。累及肾静脉时可出现肾病综合征症状。累及肠系膜上静脉时可出现胃肠道症状。静脉肾盂造影可见膀胱上抬前移, 正位似倒置的梨形。钡灌肠时直肠和乙状结肠管腔变窄和抬高, 骶前间隙增宽等。主要因 IVC 闭塞后, 腰椎旁及盆腔侧支静脉和淋巴管曲张及软组织水肿所致。IVC 造影可明确阻塞的程度、范围、性质及侧支循环情况。

### 三、X 线分型与介入治疗原则

依据 IVC 阻塞的 X 线解剖学基础, 结合 PTA、Stent 的临床实际应用情况, 提出新的三型分法, 可望对本症的临床诊治有一定的指导意义。

IVC 阻塞内科治疗几乎无效, 传统外科治疗由于创伤大, 并发症多, 术后死亡率高达 40%。介入放射为本症开辟了一个新的治疗途径。我们经过几年的临床实践认为: Ia 型 PTA 治疗一般可取得较好的近期效果, 且可重复治疗。Ib 型在 PTA 治疗同时, 可视 HV 阻塞的程度采用 HV 开通术(PTA 或 Stent)。IIa 型宜采用 Stent 治疗。IIb 型伴有门静脉高压者, 除 Stent 治疗外, 亦可采用经颈静脉肝内门腔静脉内支架分流术(TIPSS)治疗。对主 HV 严重狭窄、闭塞者可经左股静脉穿刺, 在右副 HV 与右后叶门静脉间建立分流通道。对狭窄段较长者, 应结合多普勒, 观察有无新鲜血栓。因在超声影像中能见到的强回声血栓征象多为机化血栓。超声未发现血栓而血管造影中见有充盈缺损提示为新鲜血栓。机化血栓不易脱落, 一般不需特殊处理。新鲜血栓需经溶栓后再行介入治疗。III 型患者因 IVC 广泛性闭塞, 一般不宜介入治疗。多以外科治疗缓解症状。伴门脉高压者可行

TIPSS 治疗。

## 参考文献

1. Hirooka M , Kimura C . Membranous obstruction of the hepatic portion of the inferior vena cava : surgical correlation and etiological study . Arch surg , 1970; 100: 656.

2. 马广勤, 万向荣, 陈才保, 等。经皮血管成形术治疗 Budd - Chiari 综合征。介入放射学杂志, 1994; 3: 12。

3. 易玉海, 刘道祯, 徐良, 等。经皮 Gianturco 支架置入治疗 Budd - Chiari 综合征。中华放射学杂志, 1995; 29:523。

4. 徐克, 赵仲春, 韩铭钧, 等。肝静脉阻塞型 Budd - Chiari 综合征的介入治疗。中华放射学杂志, 1995;29:469。

5 . Lopez RR Jr , Benner KG , Hall L , et al Expandable venous stents for treatment of the Budd - Chiari syndrome , Gastroenterology , 1991; 100 : 1435 .

6 . Ono J , Sakoda K , Kawada T . Membranous obstruction of the inferior vena cava . Ann Surg , 1983 ; 197 : 454 .

7 . Makuuchi M , Hasegawa H , Yamazaki S , et al . The inferior right hepatic vein : Ultrasonic demonstration . Radioiology , 1983 ; 148 : 213 .

8 . Stunley P . Budd - Chiari Syndrome . Radiology . 1989; 170 : 625 .

9 . Madayag MA , Seliger G : Inferior vena caval occlusion : characteristic radiographic changes on excretory urography and barium enema examination . Am J Roentgenol , 1977 ; 128 : 39 .

10 . 李风立, 马文领, 张兴和, 等。肝内门一腔静脉分流术相关的肝内血管应用解剖。中国临床解剖学杂志, 1995;3:195。

(上接第 132 页)

149: 35.

2. Andersen PE Jr. Brachialis Seldinger puncture with use of introducer sheath. British Journal of Radiology, 1985, 58: 777.

3. Spindler TS, Schmitt R, Helmberger T, et al. Ambulant transbrachial 4 - French arteriograph with particular reference to the aortofemoral vascular system. ROFO, 1993; 159: 174.

4. 李麟苏主编。临床介入放射学。南京:江苏科学技术出版社, 1990:49。

5. 藤田正人, 高桥健, 大村诚ほか。经上腕动脉性肝血管造影の合理化。临床放射线, 1995;40:717。

6. Baudouin CJ, Bell AM, Peck RJ, et al. Technical report: the complications of high brachial artery puncture. Clinical Radiology, 1990; 42: 277.

7. Watkinson AF , Hartnell GG. Complications of direct